Journal of Northeast Agricultural University

September 2013

网络出版时间 2013-9-23 15:13:34

[URL] http://www.cnki.net/kcms/detail/23.1391.S.20130923.1513.012.html

东北梅花鹿 Galectin-1 基因 RNAi 载体的构建

秦欣欣12, 孙红梅2, 褚文辉2, 王大涛2, 郭倩倩12, 章秀婷2, 李春义2*

(1. 江苏科技大学生物与化学工程学院,江苏 镇江 212018: 2. 中国农业科学院特产研究所,

吉林省特种经济动物分子生物学国家重点实验室培育基地,长春 130112)

摘 要:构建东北梅花鹿 galectin-1 基因特异小分子干扰 RNA(shRNAs) 真核干扰载体,并获得稳定感染生草 区骨膜细胞系。设计2 对galectin-1 mRNA特异性 shRNAs,两端分别带有 Cla I/Mlu I 酶切位点和一个9 nt 发夹结构,通过基因克隆技术将其插入真核表达质粒 pLVTHM 中,构建 galectin-1 shRNA 表达载体,利用 PCR 和测序筛选出阳性质粒。将重组质粒与 PPAX 及 pMD2.G 共转染到 293 t细胞中,在倒置显微镜下观察转染效果并收集、浓缩病毒质粒,感染生草区骨膜细胞。结果表明,成功构建东北梅花鹿 galectin-1 基因 RNAi 载体,获得稳定传代被感染生草区骨膜细胞系,为进一步研究 galectin-1 基因在鹿草再生中的作用奠定基础。

关键词: 鹿茸再生; galectin-1基因; RNAi; 生茸骨膜细胞

中图分类号: S767.5; X172 文献标志码: A 文章编号: 1005-9369(2013)09-0057-06

秦欣欣, 孙红梅, 褚文辉, 等. 东北梅花鹿 *Galectin-1* 基因 RNAi 载体的构建[J]. 东北农业大学学报, 2013, 44(9): 57-62. Qin Xinxin, Sun Hongmei, Chu Wenhui, et al. Construction of vector for northeast China deer *Galectin-1* gene RNAi[J]. Journal of Northeast Agricultural University, 2013, 44(9): 57-62. (in Chinese with English abstract)

Construction of vector for northeast China deer *Galectin*–1 gene RNAi/QIN Xinxin¹², SUN Hongmei², CHU Wenhui², WANG Datao², Guo Qianqian¹², ZHANG Xiuting², LI Chunyi²(1. Biological and chemical engineering institute, Jiangsu University of Science and Technology, Zhenjiang Jiangsu 212018, China; 2. Institute of Special Wild Economic Animals and Plants, CAAS, Changchun 130112, China)

Abstract: To construct the RNA interference eukaryotic expression vectors for the deer *galectin-1*, and establish the antlerogenic periosteal cell lines infected by RNAi vectors. Two pairs of small interfering RNAs targeting galectin-1 mRNA were designed. With both ends are equipped with Cla□/Mlu□ enzyme site and a 9 nt hairpin structure, through the gene cloning technology, constructing galectin-1 shRNA expression vectors were inserted into the eukaryotic expression plasmid pLVTHM, The positive plasmids were screened by PCR and then sequenced. The recombinant plasmid with PPAX and pMD2.G was co-transfected into 293 t cells, the transfection effects were observed under an inverted microscope, the virus plasmids were collected and concentrated, and used to infect antlerogenic periosteal cells. RNAi eukaryotic expression vector of the deer galectin-1 mRNA was successfully constructed. Establishment of the stably transfected antlerogenic periosteal cell lines may lay a foundation for the exploration of the roles of *galectin-1* in the antler regeneration.

Key words: antler regeneration; galectin-1 gene; RNAi; antlerogenic periosteal cell

收稿日期: 2013-04-24

基金项目: 国家自然科学基金(31070878), 973 前期研究专项(2011CB111515)

作者简介:秦欣欣(1984-),女,博士,研究方向为鹿茸分子生物学。E-mail: nacy_101@126.com

^{*}通讯作者:李春义,研究员,博士生导师,研究方向为鹿茸生长发育机制与鹿茸基因工程学研究,E-mail: lichunyi1959@163.com

Galectin-1是动物半乳糖凝集素家族(Galectins)成员之一,在神经修复[1]、血管再生[2-3]、软骨 形成四及免疫反应的等多个生理过程中发挥重要作 用。有研究认为galectin-1在肿瘤细胞中起重要调 控作用,与肿瘤发生有密切关系,研究发现galectin-1在鹿茸生茸区骨膜细胞(Antlerogenic periosteal cell, APC)/角柄骨膜细胞(Pedicle periosteal cell, PPC)中表达与普通面部骨膜细胞(Facial periosteal cell, FPC)中相比存在明显差异⁶⁶, 鹿茸每年 周期性再生能保持令人惊异的速度而不癌变,且 鹿茸周期性完全再生主要依赖鹿茸干细胞(鹿茸干 细胞包括生茸区骨膜干细胞和角柄骨膜干细胞)四, 推测 galectin-1 可能与 鹿茸再生过程有紧密联 系,起信号分子作用,而galectin-1在鹿茸中作用 机制对癌症研究很有意义。RNA干扰首先发现于 秀丽隐杆线虫中,是1998年由Fire等发现转录后 基因沉默机制吗。本试验旨在建立东北梅花鹿 galectin-1基因 RNAi 载体,并获得稳定感染生茸区 骨膜细胞,为galectin-1在鹿茸再生中的进一步研 究奠定基础。

1 材料及方法

1.1 材料与试剂

病毒系统:慢病毒载体系统由北京大学医学部刘国庆教授惠赠。该慢病毒系统由 pLVTHM, PPAX 和 pMD2.G 三质粒组成。Ecoli 1DH5α为碧云天购买;293 t,吉林大学宋宇博士惠赠;T4 DNA连接酶、限制性内切酶为 NEB产品;小量质粒提取试剂盒、大量质粒提取试剂盒、琼脂糖凝胶回收试剂盒为 QIAGEN产品;HP转染试剂为罗氏产品;氨苄青霉素为 Amresco产品。

1.2 方法

1.2.1 galectin-1基因RNAi 靶位点筛选

根据 Angela 和 The RNAi Consortium (TRC) RNAi 靶位点筛选法则,进行shRNA干扰载体设计。

通过NCBI上进行同源性比对(BLAST分析),确定 galectin-1 基因干扰靶位点 83~101 nt 及 281~299 nt,并根据实验经验在 RNAi 靶序列两端分别接上 Cla I、Mlu I 酶切位点、内成环结构、终止信号等以成 shRNA 结构。

plv-G-1-sense: cgcgtcccc AGACGGACCTAAC-

CATCAA ttcaagaga TTGATGGTTAGGTCCGTCT ttttt ggaaat; plv-G-1-antisense: cgatttcc aaaaa AGACG-GACCTAACCATCAA tctcttgaa TTGATGGTTAGGT CCGTCT gggga 3'; plv-G-2-sense: cgcgtcccc CCAAGAGCTTCTCG CTGAA ttcaagaga TTCAGCGAGAAGCTCTTGG ttttt ggaaat; plv-G-2-antisense: cgatttcc aaaaa CCAAGAGC TTCTCGCTGAA tctcttgaa TTCAGCGAGAAGCTCTT GG gggga 3'

其中下划线处为酶切位点,两个酶切位点间 序列为发夹结构。四条寡核苷酸单链由上海宝生 物公司合成。

1.2.2 shRNA 退火

按照引物合成单每1 OD shRNA 正义链/反义链溶于一定体积无菌双蒸水中配成最终浓度为 50 mmol·L⁻¹溶液,分别各取1 μL单链加入48 μL退火缓冲液中,混合后在 PCR 仪上进行退火反应。

1.2.3 重组质粒构建及鉴定

将经Cla I 和Mlu I 双酶切胶回收后 pLVTHM 与稀释100倍后退火产物按照1:3在 T_4 DNA连接酶作用下进行连接。将连接产物加入到超级感受态DH5 α 中,进行涂布培养,并挑取阳性菌株提取质粒,以PCR 及Cla I 和Mlu I 双酶切鉴定,并测序进一步验证。

1.2.4 重组质粒包装

将293 t细胞进行复苏、传代培养,使细胞在转染日融合度达到90%。整个实验分为四组:①空白对照组,转染脂质体;①p-293t组,转染脂质体和pLVTHM、PPAX、pMD2.G;③p-shRNA1组,转染脂质体和p-shRNA1、PPAX、pMD2.G;④p-shRNA2组,转染脂质体和p-shRNA2、PPAX、pMD2.G。具体步骤见罗氏公司HP转染试剂盒说明书。将细胞培养皿在37℃,5% CO₂条件下进行培养,24 h后倒置荧光显微镜下检测GFP表达情况以确定转染效率。

1.2.5 感染生茸区骨膜细胞

将转染24、48 h病毒进行收集、浓缩,用于感染生茸区骨膜细胞,72 h后在荧光显微镜下观察感染结果。

2 结果与分析

2.1 shRNA 退火结果

化学合成shRNA正义及反义链在体外经过退

火后形成适合线性载体 DNA 短片段其结果如图 1 所示。1号泳道为 shRNA 正义链,为 67 nt 寡核苷酸单链;2号泳道为 shRNA 反义链,为 65 nt 寡核苷酸单链;由于两者均为寡核苷酸单链,所以电泳结果均拖带。3号泳道为退火后产物,略小于100 bp Maker,与试验预期(约 65 bp DNA 片段)相符。

M 1 2 3 1500 bp 500 bp 300 bp 200 bp 100 bp

M-DNA Marker; 1-shRNA 正义链; 2-shRNA 反义链; 3-退火产物

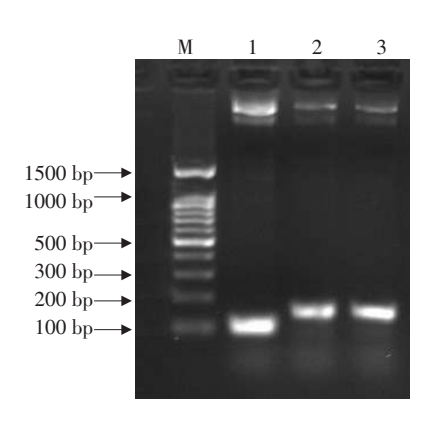
M-DNA Marker; 1-shRNA sense strand 2-1-shRNA antisense strand; 3-annealing temperature

图1 shRNA 退火结果

Fig. 1 Gel electrophoresis of anealing shRNA

2.2 重组质粒构建及鉴定结果

重组后质粒和未处理空白质粒经 PCR 初步鉴定结果如图 2 所示。空白质粒 PCR 后条带长度与预期值 (105 bp) 相符,重组质粒 2 号和 3 号泳道 PCR 后条带长度与预期值 (约 172 bp) 相符,初步证明重组成功,通过测序进一步确定重组结果如图 3、4 所示。



M-DNA Maker; 1-空白质粒 PCR条带; 2-重组质粒 p-shRNA1 PCR条带; 3-重组质粒 p-shRNA2 PCR条带
M-DNA Maker; 1-blank plasmid PCR band; 2recombinant plasmid p-shRNA1 PCR band;
3-recombinat plasmid p-shRNA12 PCR band

图2 PCR 鉴定结果

Fig. 2 Identification results of PCR

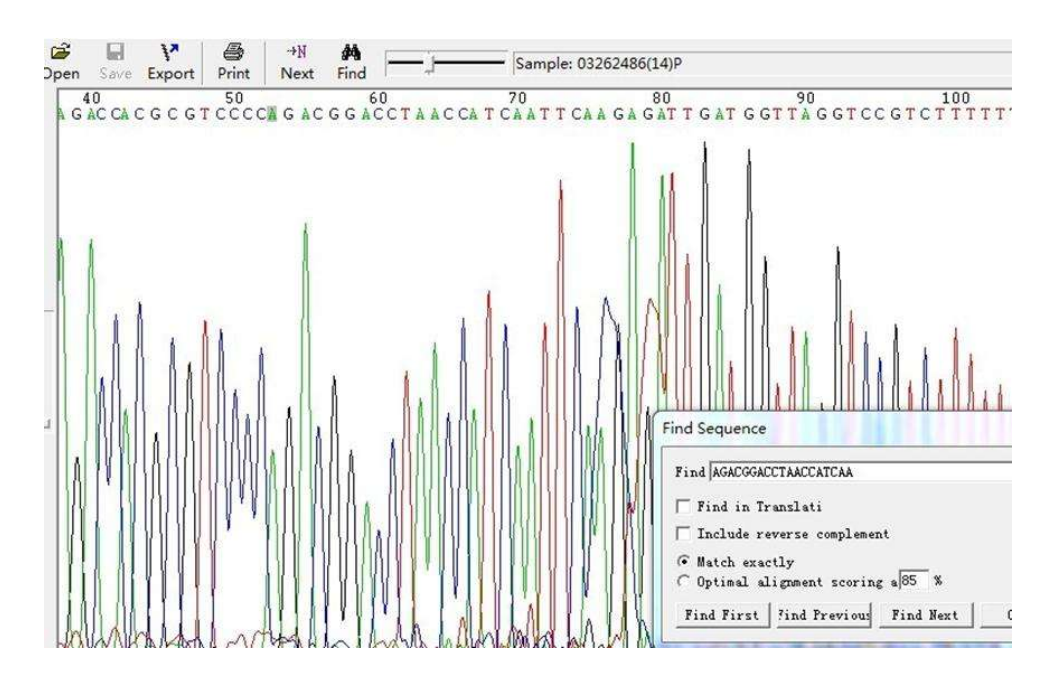


图3 插入shRNA1pLVTHM质粒测序结果部分序列

Fig. 3 Partial sequencing result of pLVTHM inserted shRNA1

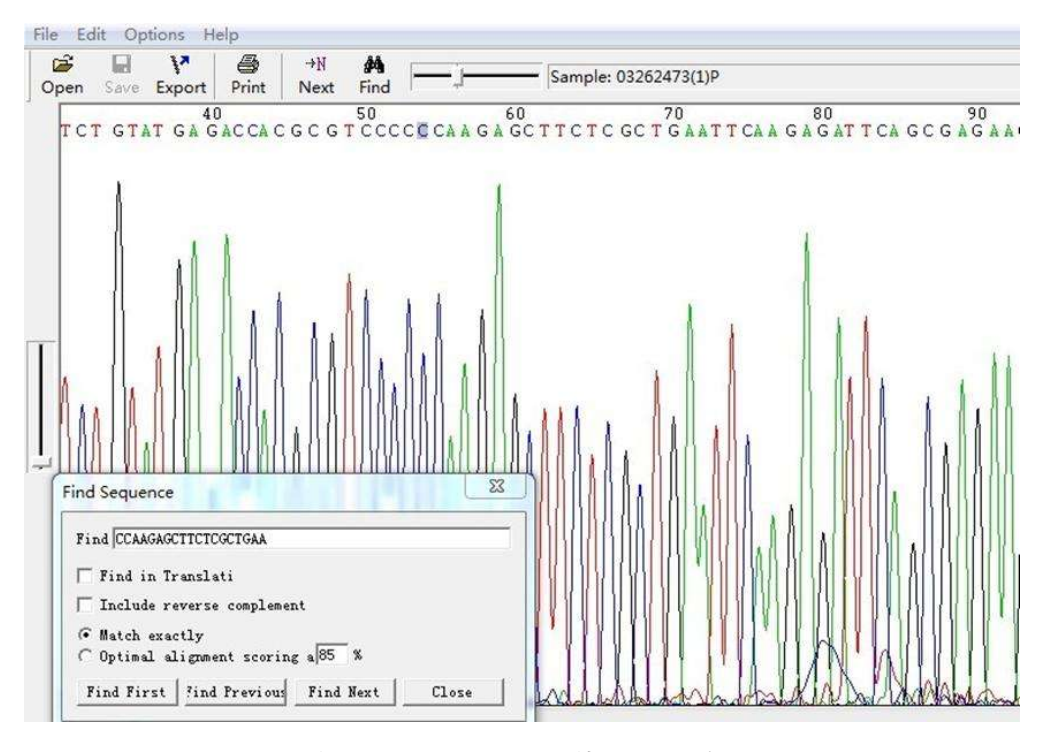


图4 插入shRNA2pLVTHM质粒测序结果部分序列

Fig. 4 Partial sequencing result of pLVTHM inserted shRNA2

2.3 重组质粒转染结果

在 293 t细胞中进行 HP转染试剂介导 p-shR-NA1/ p-shRNA2、psPAX2、pMD2.G 慢病毒三质粒共转染结果如图 5 所示(彩版见封二)。转染 24 h后,在倒置荧光显微镜下可观察到大量 GFP 荧光,且均匀分布于视野中,明暗交替无规则。在可见光下,293 t细胞生长旺盛、排列紧密、呈圆粒型,上清中无死细胞和细胞碎片。这说明质粒成功共转染 293 t并包装成慢病毒粒子。

2.4 感染生茸区骨膜细胞结果

将收集、浓缩病毒加入到第三代生茸区骨膜 干细胞中进行感染,72h后在倒置荧光显微镜中观 察到大量绿色荧光,约占细胞总数60%;在可见光 下观察生茸区骨膜干细胞生长状态,并未发生畸 变现象,结果如图6所示(彩版见封二)。

表明利用重组病毒成功感染生茸区骨膜干细胞,并获得能够稳定表达重组慢病毒系统生茸区骨膜干细胞。

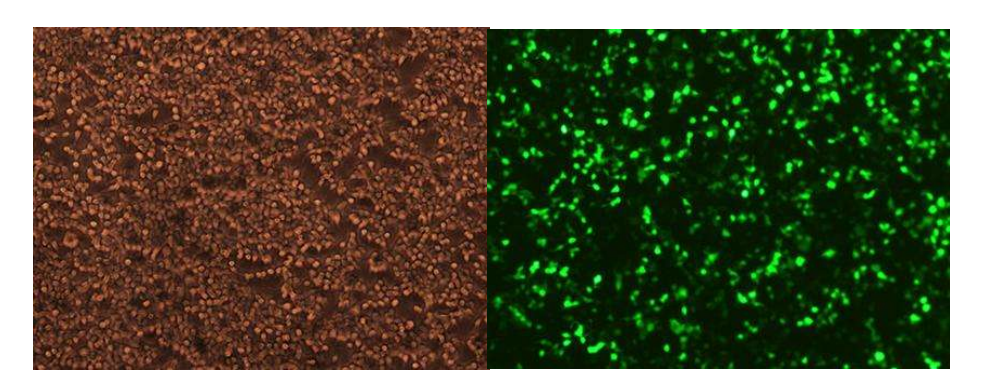


图5 三质粒共转染 24 h后 293 t细胞生长(右,光学显微镜)及 GFP表达情况(左,荧光显微镜) Fig.5 293 t cells at 24 h after co-transfection(right, light microscope) GFP expression of 293 t cells 24 h after co-transfection(left, fluorescence microscope)

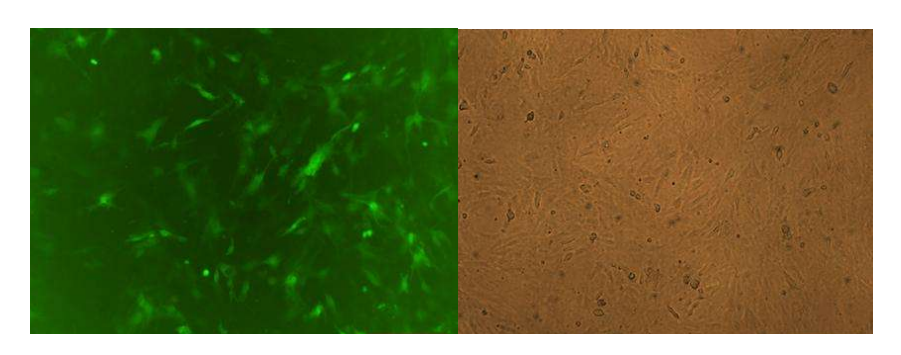


图 6 感染生茸区骨膜细胞 GFP 表达(左,荧光显微镜)及生长(右,光学显微镜)情况 Fig. 6 Periosteal cells infected antler GFP expression (left) and growth (right)

3 讨论与结论

鹿茸是哺乳动物中唯一能够完全再生的附属器官,鹿茸再生不同于蝾螈肢体再生,通过组织学和形态学研究发现,鹿茸再生源于角柄骨膜组织。角柄骨膜并非与生俱来是由生茸骨膜衍生而来,进一步研究发现,生茸区骨膜细胞和角柄骨膜细胞均为干细胞,并进一步证明鹿茸再生是基于干细胞的过程。

Galectin-1是最先被报道的一种内源糖结合蛋 白,分子结构简单,只有一个糖类识别结构域, 常以同源二聚体形式存在,对β-半乳糖苷具有亲 和力[10],可以作为多种癌症诊断指标[11]。galectin-1 与肿瘤发生、生长、迁移、血管再生等多个过程 相关, 鹿茸再生过程包括鹿茸发生、生长、血 管生成、神经再生、软骨形成等,体外培养研究 发现与FPC相比, galectin-1在APC中表达倍数 为15,在PPC细胞中表达倍数为20⁶,而人体内 galectin-1过表达一般会引发癌症, 鹿茸干细胞中 galectin-1高表达,却并未引起鹿茸组织癌变,使 其在鹿茸干细胞中研究至关重要[12]。galectin-1在 鹿茸再生过程中的作用, 以及未引起鹿茸组织癌 变的原因值得关注。虽然生茸区骨膜只在初茸形 成之前存在,在鹿茸再生过程中是角柄骨膜在起 作用[13,14],但角柄骨膜是由生茸区骨膜转化而来[15], 故将研究焦点首先放在 APC 中, 而表达倍数更高 的PPC则是下一步研究对象。对APC中galectin-1 进行RNA干扰,可为研究APC与PPC之间差异原 因,推测其与鹿茸再生关系,进一步解析鹿茸再 生机制及癌症之谜奠定基础。

目前RNAi应用十分广泛,是继基因敲除技术

之后一项最有效的基因沉默技术,也是一种比较成熟、易于操作技术。本试验研究方法与多种载体构建实验相似,但所采用慢病毒三质粒系统经过多次试验选出,具有较高转染效率,质粒系统选择对试验成败至关重要。本试验创新点是成功筛选针对梅花鹿 galectin-1 基因 RNA 干扰的位点,对鹿茸生茸区骨膜细胞中 galectin-1 基因进行干扰,且感染 APC 可以进行稳定传代。虽然成功构建载体系统且成功感染 APC,但并未对干扰效果进行检测。

本试验成功筛选2对针对东北梅花鹿galectin-1基因特异小分子干扰RNA,首次成功构建东北梅花鹿galectin-1基因RNAi慢病毒三质粒载体系统载体,获得稳定传代被感染生茸区骨膜细胞系,为鹿茸再生机制研究奠定基础。

[参考文献]

- [1] Fischer I, Jeschke U, Friese K, et al. The role of galectin-1 in trophoblast differentiation and signal transduction[J]. Journal of Reproductive Immunology, 2011, 90(1): 35-40.
- [2] 李富新, 何小玲, 付强, 等. Galectin-1在胃癌组织中表达及在胃癌血管生成中作用[J]. 山东医药, 2010, 24: 15-17.
- [3] 邱达泰, 黄芝, 欧阳高亮, 等. 肿瘤血管生成促进因子和抑制因子[J]. 中国药物与临床, 2005(7): 485-488.
- [4] Marcon P, Marsich E, Vetere A, et al. The role of Galectin-1 in the interaction between chondrocytes and a lactose-modified chitosan[J]. Biomaterials, 2005, 26(24): 4975-4984.
- [5] Kovács-Sólyom F, Blaskó A, Fajka-Boja R, et al. Mechanism of tumor cell-induced T-cell apoptosis mediated by galectin-1[J]. Immunology Letters, 2010, 127(2): 108-118.

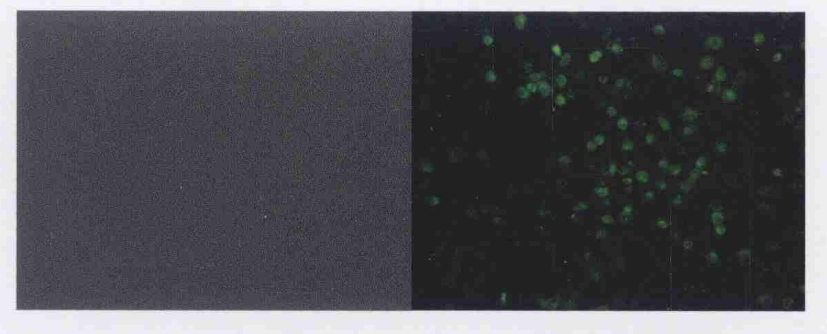
- [6] Harper A, Li C. Identifying ligands for S100A4 and galectin-1 in antler stem cells[C]. New Zealand: Queenstown Molecular Biology Meetings, 2009.
- [7] Li C, Mackintosh C, Martin S, et al. Identification of key tissue type for antler regeneration through pedicle periosteum deletion [J]. Cell and Tissue Research, 2007, 328(1): 65–75.
- [8] 李成, 张滨丽, 李杰. RNAi 技术研究进展和发展前景[J]. 东北农业大学学报, 2005(3): 365-368.
- [9] 李丽文,朱延明,李杰,等. RNAi 技术在植物功能基因组学中研究进展[J]. 东北农业大学学报, 200(1): 119-124.
- [10] Ion G, Fajka-Boja R, Toth G, et al. Role of p56lck and ZAP70-mediated tyrosine phosphorylation in galectin- 1- induced cell death[J]. Cell Death and Differentiation, 2008, 12(8): 1145-1147.
- [11] Gaudet A, Leung M, Poirier F, et al. A role for galectin-1 in the

- immune response to peripheral nerve injury[J]. Experimental Neurology, 2009, 220(2): 320–327.
- [12] 秦欣欣, 孙红梅, 赵海平, 等. 半乳糖凝集素 1 蛋白及其生物学功能[J]. 中国畜牧兽医, 2012(6): 141-145.
- [13] Li C. Deer antler regeneration: A stem cell-based epimorphic process[J]. Birth Defects Research Part C: Embryo Today: Reviews, 2012, 96(1): 51-62.
- [14] Li C, Yang F, Sheppard A. Adult stem cells and mammalian epimorphic regeneration—insights from studying annual renewal of deer antlers[J]. Current Stem Cell Research & Therapy, 2009(4): 237–251.
- [15] Li C, Harper A, Puddick J, et al. Proteomes and signalling pathways of antler stem cells[J]. Proteomes in Antler Stem Cells, 2012, 7(1): 1–11.



A-细胞对照组

B-PEDV(1:100稀释)感染VERO细胞



C-细胞对照组免疫荧光

D-rS1636-789多抗血清与 PEDV特异性绿荧光反应

图 5 PEDV 感染 VERO 细胞的免疫荧光检测抗体特异性 Fig. 5 Immunof luorescence analysis of PEDV infected VERO cell 任晓峰等: 猪流行性腹泻病毒S1蛋白截短表达及多抗制备. 2013, 44(9): 46-50.

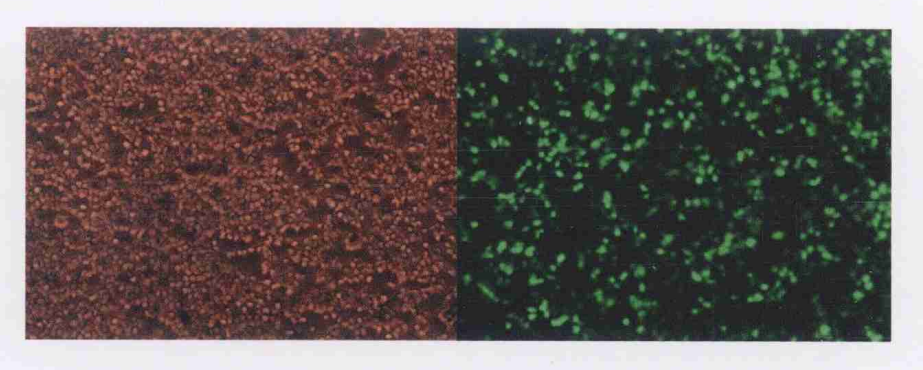


图5 三质粒共转染24 h后293 t细胞生长(右,光学显微镜)及GFP表达情况(左,荧光显微镜) Fig. 5 293 t cells at 24 h after co-transfection (right, light microscope) GFP expression of 293 t cells 24 h after co-transfection (left, fluorescence microscope)

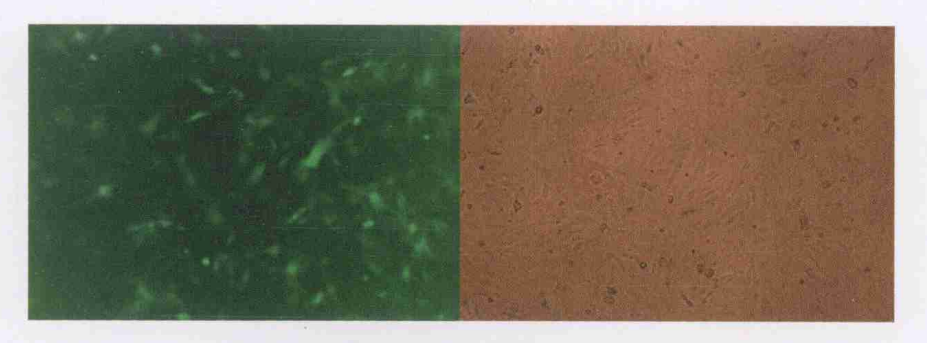


图 6 感染生茸区骨膜细胞 GFP 表达(左,荧光显微镜)及生长(右,光学显微镜)情况 Fig. 6 Periosteal cells infected antler GFP expression (left) and growth (right) 秦欣欣等:东北梅花鹿 Galectin—1基因 RNAi 载体的构建. 2013, 44(9):57-62.